

# 双相角结构不变量的 Neighborhood 原理

## ——单个 Friedel 相角对的概率估计

郭 东 燿

(吉林大学理论化学研究所, 长春)

H. Hauptman

(布法罗医学基金会, 美国)

通过 Friedel 相角对统计性质的研究, 我们理解到按概率公式<sup>[1]</sup>

$$\varphi_h + \varphi_{\bar{h}} \approx -\xi, \quad (1)$$

$-\xi$  的统计平均值基本上能反映真实的 Friedel 相角对取正值的倾向性及其统计平均值本身。这启发人们进一步去探求单个相角对这个最引人关注的问题。

### 一、一级 Neighborhood 方法

公式(1)是假定在已知  $|E_h|$  及  $|E_{\bar{h}}|$  这两个模的条件下, 推导出来的概率式。它可能用于估计双相角结构不变量的前提是

$$A = 2|E_h||E_{\bar{h}}|X/(1-X^2) \quad (2)$$

比较大, 即条件概率分布的方差比较小。以上是一级 Neighborhood 的理论结果。

以(2)式为判据, 用(1)式来计算药物小结构柯卡因甲基碘化物 (cocaine methiodide) 时<sup>[2]</sup>, 不论在判别  $\varphi_h + \varphi_{\bar{h}}$  的符号(正值)或估计数值方面, 结果都是满意的。在此基础上, 着

表 1

衍 射 号 数	正 确 符 号 数	错 误 符 号 数	$\langle \varphi_h + \varphi_{\bar{h}} \rangle$	$\langle -\xi \rangle$	$\langle 绝 对 误 差 \rangle$
1—100	82	18	1.4	1.9	1.3
101—200	96	4	3.2	3.1	1.4
201—300	100	0	5.1	4.4	1.6
301—400	99	1	5.7	5.6	1.8
401—500	98	2	5.3	6.1	2.0
501—600	99	1	5.7	6.5	2.0
601—700	99	1	5.9	6.7	1.9
701—800	99	1	6.5	7.0	1.9
801—900	99	1	6.3	7.3	2.2
901—1000	99	1	7.5	7.8	2.2
总 体 情 况	970	30	5.3	5.6	1.8

本文 1987 年 3 月 26 日收到。

\* 有关实验工作曾受到美国 NSF 基金 No. CHE 8203930 的资助。

重对分子生物大结构蛋白细胞色素 C<sub>34</sub> 的 Pt 衍生物进行了计算<sup>[3]</sup>。CuK<sub>α</sub> 辐射晶胞内 4 个 Pt, 4 个 Fe, 24 个 S 为反常原子; 812 个 O, 680 个 N, 2548 个 C 为正常原子。其它有关计算细节见本文 (I)。1000 个  $|E| > 2.0$  的 Friedel 对的计算结果列于表 1。其中的角度用度表示。由表可见, Hauptman 的一级 Neighborhood 公式 (1), 能以很高的可靠程度判断  $\varphi_h + \varphi_k$  的符号, 但计算分子生物大结构  $\varphi_h + \varphi_k$  的数值时误差相当大。如果想用于含有实验误差的未知结构时, 情况会更差些。

另外, 换用 CrK<sub>α</sub> 波长时也得到类似的结果。在 1000 对数据中, (1) 式可以对 964 个符号做出正确的判断, 错的只有 36 个。

## 二、高级 Neighborhood 理论

为了改进分子生物大结构的  $\varphi_h + \varphi_k$  的估计值, 高级 Neighborhood 理论看来是有益的。只要对三相角结构不变量的联合概率分布进行对  $\Phi_1$  和  $\Phi_2$  积分, 得到的新条件概率分布就是双相角结构不变量的一种高级 Neighborhood 公式。在满足  $h + k + l = 0$  的条件下,  $E_h, E_k, E_l$ ,  $E_k, E_l, E_l$  的联合概率分布为:

$$P = \frac{R_1 R_2 R_3 R_4 R_5 R_6}{(2\pi)^{12}} \int_{\rho_1=0}^{\infty} \int_{\rho_2=0}^{2\pi} \rho_1 \rho_2 \rho_3 \rho_4 \rho_5 \rho_6 \\ \times \exp \{-i[R_1 \rho_1 \cos(\theta_1 - \Phi_1) + R_2 \rho_2 \cos(\theta_2 - \Phi_2) + R_3 \rho_3 \cos(\theta_3 - \Phi_3) \\ + R_4 \rho_4 \cos(\theta_4 - \Phi_4) + R_5 \rho_5 \cos(\theta_5 - \Phi_5) + R_6 \rho_6 \cos(\theta_6 - \Phi_6)]\} \\ \cdot \prod_{i=1}^N q_i d\rho_1 d\rho_2 d\rho_3 d\rho_4 d\rho_5 d\rho_6 d\theta_1 d\theta_2 d\theta_3 d\theta_4 d\theta_5 d\theta_6,$$

式中  $R$  及  $\Phi$  分别代表有关的  $|E|$  及相角  $\varphi$ 。完成 12 重积分, 并引入

$$D_1 = \Phi_1 + \Phi_4, D_2 = \Phi_2 + \Phi_5, \quad (3)$$

$$R_1 = |E_h|, R_2 = |E_k|, R_3 = |E_l|, R_4 = |E_k|, R_5 = |E_l|, R_6 = |E_l|, \quad (4)$$

$$x_\mu = \frac{2R_\mu R_\mu X_\mu}{1 - X_\mu^2}, \tau_\mu = I_1(x_\mu)/I_0(x_\mu), \mu = 1, 2, 3, \quad (5)$$

然后把联合概率  $P$  对  $\Phi_1$  及  $\Phi_2$  积分, 就可以得到当给定  $R_1, R_2, R_3, R_4, R_5, R_6$  时  $D_1$  和  $D_2$  的条件概率分布  $P(D_1 D_2 | R_1 R_2 R_3 R_4 R_5 R_6)$ 。

$$P(D_1 D_2 | R_1 R_2 R_3 R_4 R_5 R_6) = k \cdot \exp \{x_1 \cos(D_1 + \xi_1) + x_2 \cos(D_2 + \xi_2)\} \\ \cdot I_0 \left\{ \frac{2Y}{(1 - x_1^2)(1 - x_2^2)(1 - x_3^2)} \right\}, \quad (6)$$

其中  $k$  是归一化常数, 其它参数可以从文献 [1] 中找到。而  $Y$  的定义为

$$Y^2 = Z_0^2 [R_1^2 R_2^2 R_3^2 + \tau_1^2 R_1^2 R_2^2 R_3^2] + Z_1^2 [R_1^2 R_2^2 R_3^2 + \tau_2^2 R_1^2 R_2^2 R_3^2] + Z_2^2 [R_1^2 R_2^2 R_3^2 + \tau_3^2 R_1^2 R_2^2 R_3^2] \\ + Z_3^2 [R_1^2 R_2^2 R_3^2 + \tau_4^2 R_1^2 R_2^2 R_3^2] + 2\tau_1 R_1 R_2 R_3 R_4 [Z_0^2 \cos(D_1 + D_2 - \xi_3 - 2\xi_0) \\ + Z_1^2 \cos(D_1 - D_2 + \xi_3 + 2\xi_1) + Z_2^2 \cos(D_1 - D_2 - \xi_3 - 2\xi_2) \\ + Z_3^2 \cos(D_1 + D_2 + \xi_3 - 2\xi_3)] + 2Z_0 Z_1 [R_1 R_2 (R_1^2 R_2^2 + \tau_1^2 R_1^2 R_2^2) \cos(D_1 - \xi_0 + \xi_1) \\ + \tau_1 R_2 R_3 R_4 (R_1^2 + R_1^2) \cos(D_2 - \xi_0 - \xi_1 - \xi_3)] \\ + 2Z_0 Z_2 [R_1 R_2 (R_1^2 R_2^2 + \tau_2^2 R_1^2 R_2^2) \cos(D_2 - \xi_0 + \xi_2) \\ + \tau_2 R_1 R_3 R_4 (R_1^2 + R_1^2) \cos(D_1 - \xi_0 - \xi_2 - \xi_3)] \\ + 2Z_0 Z_3 [R_1 R_2 R_3 R_4 (R_1^2 + \tau_3^2 R_1^2) \cos(D_1 + D_2 - \xi_0 - \xi_3)]$$

$$\begin{aligned}
& + \tau_3 R_3 R_3 (R_1^2 R_2^2 + R_1^2 R_3^2) \cos(\zeta_0 - \zeta_2 + \xi_3) \\
& + 2Z_1 Z_2 [R_1 R_1 R_2 R_3 (R_2^2 + \tau_3^2 R_3^2) \cos(D_1 - D_2 + \zeta_1 - \zeta_2) \\
& + \tau_3 R_3 R_3 (R_1^2 R_2^2 + R_1^2 R_3^2) \cos(\zeta_1 + \zeta_2 + \xi_3)] \\
& + 2Z_1 Z_3 [R_2 R_2 (R_1^2 R_3^2 + \tau_3^2 R_1^2 R_3^2) \cos(D_2 - \zeta_1 - \zeta_3) \\
& + \tau_3 R_1 R_1 R_3 R_3 (R_2^2 + R_3^2) \cos(D_1 + \zeta_1 - \zeta_3 + \xi_3)] \\
& + 2Z_2 Z_3 [R_1 R_1 (R_2^2 R_3^2 + \tau_3^2 R_2^2 R_3^2) \cos(D_1 - \zeta_2 - \zeta_3) \\
& + \tau_3 R_2 R_2 R_3 R_3 (R_1^2 + R_1^2) \cos(D_2 + \zeta_2 - \zeta_3 + \xi_3)]. \tag{7}
\end{aligned}$$

(6) 式的优点在于可以利用更多的归一化结构因子的模。它还有如下三个特点：

1. 公式 (6) 和 (1) 存在着内在联系。由于  $\exp\{x_1 \cos(D_1 + \xi_1) + x_2 \cos(D_2 + \xi_2)\}$  项的存在，用 (1) 式估计出的  $D_1$  及  $D_2$ ，可以看成 (6) 式的近似值。
2. 由于 Y 项的存在，使由 (1) 式计算出来的概率值得到修正。
3. 因为 (6) 式同三相角结构不变量  $h, k, l$  有关，对于一个指定的 Friedel 对  $h$  及  $\bar{h}$ ，可能找到许多组  $h, h_i, l_i; i = 1, 2, \dots, p$ ， $p$  为组数。于是单个相角对  $\varphi_h + \varphi_{\bar{h}}$  可以有  $p$  个估计值。这意味着可能通过统计平均的方法来改善单个相角对的估计值。

### 三、高级 Neighborhood 的计算

计算工作的核心问题是求 (6) 式的极大值。如果概率分布  $P(D_1 D_2 | R_1 R_1 R_2 R_2 R_3 R_3)$  (缩写为  $P(D_1 D_2)$ ) 的极大值在  $D_{1m}$  及  $D_{2m}$  处，可把  $D_1$  分布的方差定义为

$$\text{Var } D_1 = \int_{D_{1m}-\pi}^{D_{1m}+\pi} (D_1 - D_{1m})^2 P(D_1 D_{2m}) dD_1 / \int_{D_{1m}-\pi}^{D_{1m}+\pi} P(D_1 D_{2m}) dD_1. \tag{8}$$

如果某个双相角结构不变量可以找到  $p$  个估计值，则统计平均的估计值为

$$\langle D_{1mi} \rangle = \sum_{i=1}^p (D_{1mi} / \text{Var } D_1) / \sum_{i=1}^p (1 / \text{Var } D_1). \tag{9}$$

本文只用小结构柯卡因甲基碘化物做了计算方法上的探索，以便为大结构的计算提供经验。 $P(D_h D_{\bar{h}})$  在二维平面上的分布对  $|E|$  比较敏感，这反映了对方差的影响。图 1 是用  $|E_{1,5,1}| = 1.57, |E_{1,5,1}| = 1.73, |E_{1,5,7}| = 1.59, |E_{1,5,7}| = 1.42, |E_{2,10,6}| = 1.60, |E_{2,10,6}| = 1.69$  计算出来的。图 2 是用  $|E_{1,5,1}| = 1.57, |E_{1,5,1}| = 1.73, |E_{1,5,10}| = 0.38, |E_{1,5,10}| = 0.46$ ，

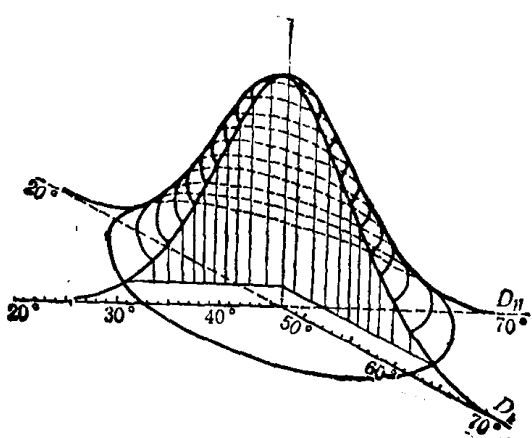


图 1

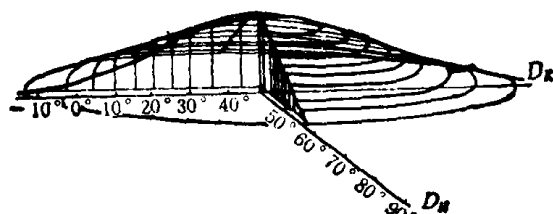


图 2

$|E_{1,1,9}| = 0.41$ ,  $|E_{2,1,9}| = 0.53$  计算出来的。

个别相角对的计算结果示于图 3 和图 4。由于在以前的所有理论工作中，并未特殊地考虑某些反射的密勒指数中含有 0 的这个细节，它可能导致对这种点结果不佳，至少在计算中也要留心这个问题。我们选取  $|E| > 1$  的衍射点进行计算，结果按平均方差由小到大排队；从顶部取一批衍射点，分成密勒指数不含 0 的（84 个相角对）示于图 3，含有 0 的（66 个相角对）示于图 4。

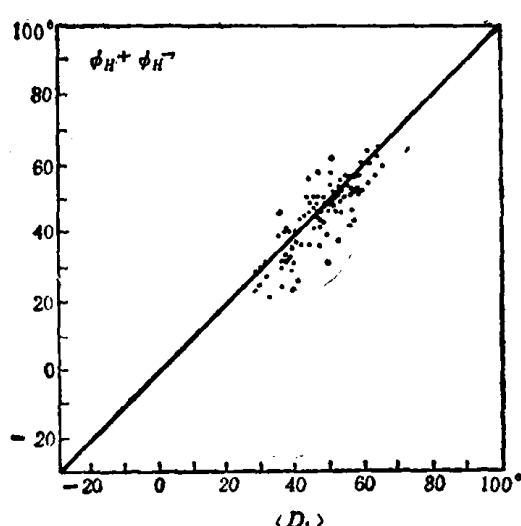


图 3

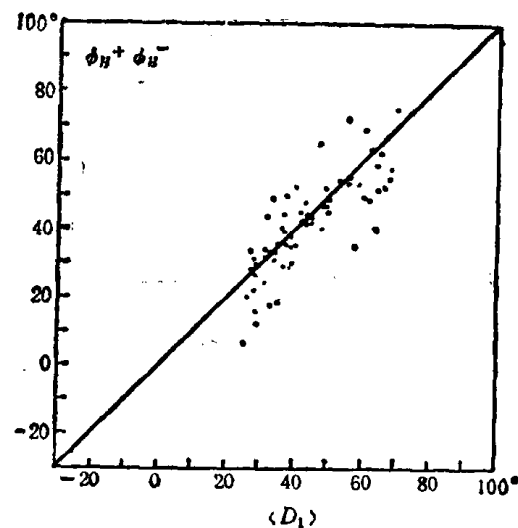


图 4

对这个药物小结构，个别相角值的对角分布规律相当明显，密勒指数含 0 的结果相对差些。应指出，在用一级 Neighborhood 方法判别分子生物大结构的 Friedel 相角对的符号时，虽然在一千个符号中只有三十几个是错的，但其中二十来个是密勒指数含有 0 的。这就提醒我们还有必要补充这方面的理论工作。

### 参 考 文 献

- [1] Hauptman, H., *Acta Cryst.*, **A38**(1982), 632.
- [2] Shen, M. and Ruble, J. R., *Acta Cryst.*, **B31**(1975), 2706.
- [3] Timkovich, R. and Dickerson, R. E., *J. Biol. Chem.*, **251**(1976), 4033.